住宅環境における 屋内広帯域・高速電力線搬送通信(PLC) からの 漏洩電界に関する測定実験 II

(神奈川県横須賀市内の周囲雑音測定) (CMI/DMIと漏洩電界測定) (漏洩電界が周囲雑音以下になるCMI/DMI測定例) (CMI/DMI進行波電流及び反射波電流測定)

> 平成20年9月26日 測定実験者: 土屋 正道 櫻井 豊

1. PLCからの漏洩電界測定実験の目的

- 広帯域電力線搬送通信設備(以下、「PLC」と呼ぶ)からの漏洩電界が周囲雑音以下であるか否かを検証
- 検証する場所での周囲雑音測定と、技術基準 に於ける周囲雑音の目標値との適合性
- 漏洩電界が周囲雑音以下になるCMI/DMIの 測定例
- 前回に追加して横須賀市内住宅地及び横須賀市YRP近隣での周囲雑音比較

2. 測定実証実験発表理由説明

- 1)技術基準による周囲雑音目標値が、 15MHz以下では、28dBμV/m
 15MHz以上では、18dBμV/m
 - ➡ITU-R P. 372-9を参照しても、住宅環境として 妥当性が無い
 - ≫NATOでは、漏洩電界基準-15dBμV/m未満 (絶対防護要求)
- ・2)屋内電力線及びその長さと短波帯並びに デジタル変調方式を 使用する関係上、 集中定数回路として取り扱っている事の技術的疑問
- ➡分布定数回路として取り扱うべき、
 - >インピーダンス整合を取るべき

- ・3)技術基準のLCL値及びCMI値規定では、 漏洩電界が周囲雑音以下にならない。
 - ➡DMI値の検討の必要性、

漏洩電界規定の必要性の為の測定検証

- ≫次の受信障害例からも明らかである(第3項)
- 4)前回は、研究会発表方法の発表論文の性格と して
 - 「(4)実験結果の報告」であったが、
 - 今回は、
 - 「(2)理論と実験結果との対照」を、主に発表する

3. PLC漏洩電界による短波放送受信障害例

- HD-PLC方式による 海外日本語放送受信障害例
- 受信場所:神奈川県厚木市内 住宅地
- 受信アンテナ: DX-1Pro 離隔距離: 10m
- 受信機:独逸テレフンケン社製 E1800

軍及び業務用VLF・LF・HF帯 全波受信機

IP3>+40dBm

D:¥PLC漏洩電界と雑音¥①HD-PLC & モンゴル短波受信機 HD.avi



図1. 厚木市受信地点周辺状況

4. 漏洩電界測定及び周囲雑音測定の方法4-1. 測定ブロックダイアグラム

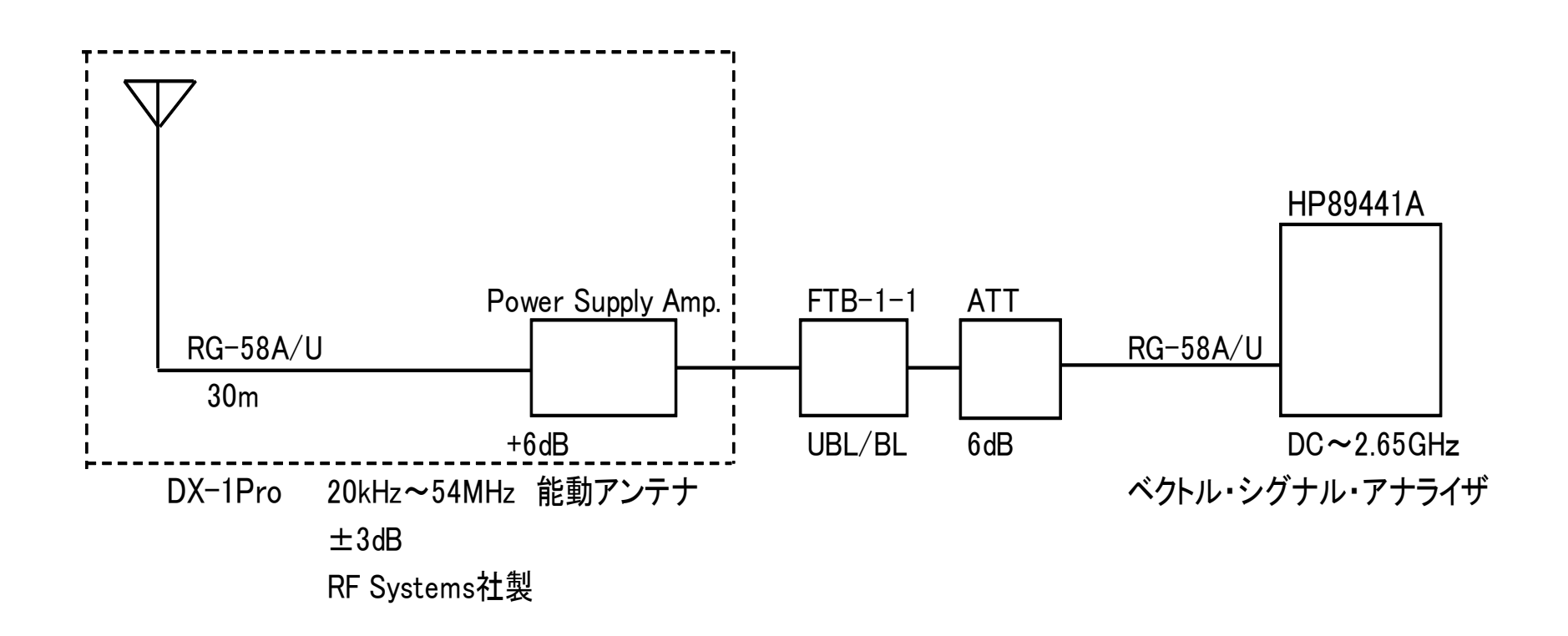


図2. 測定ブロックダイアグラム

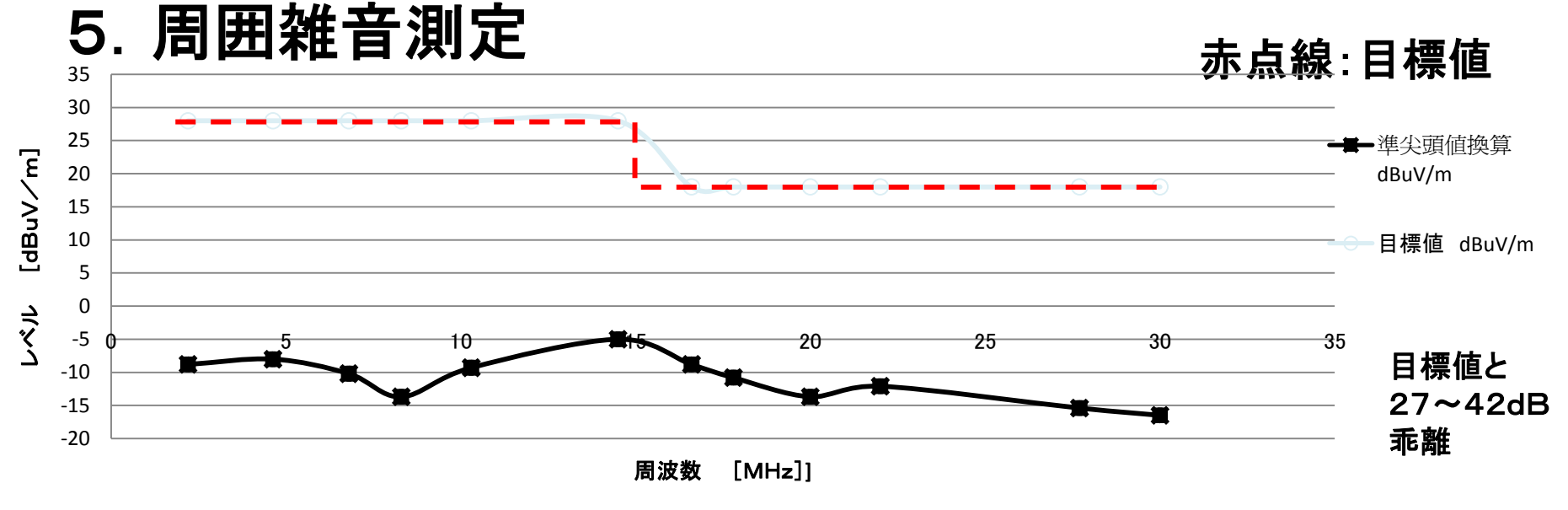
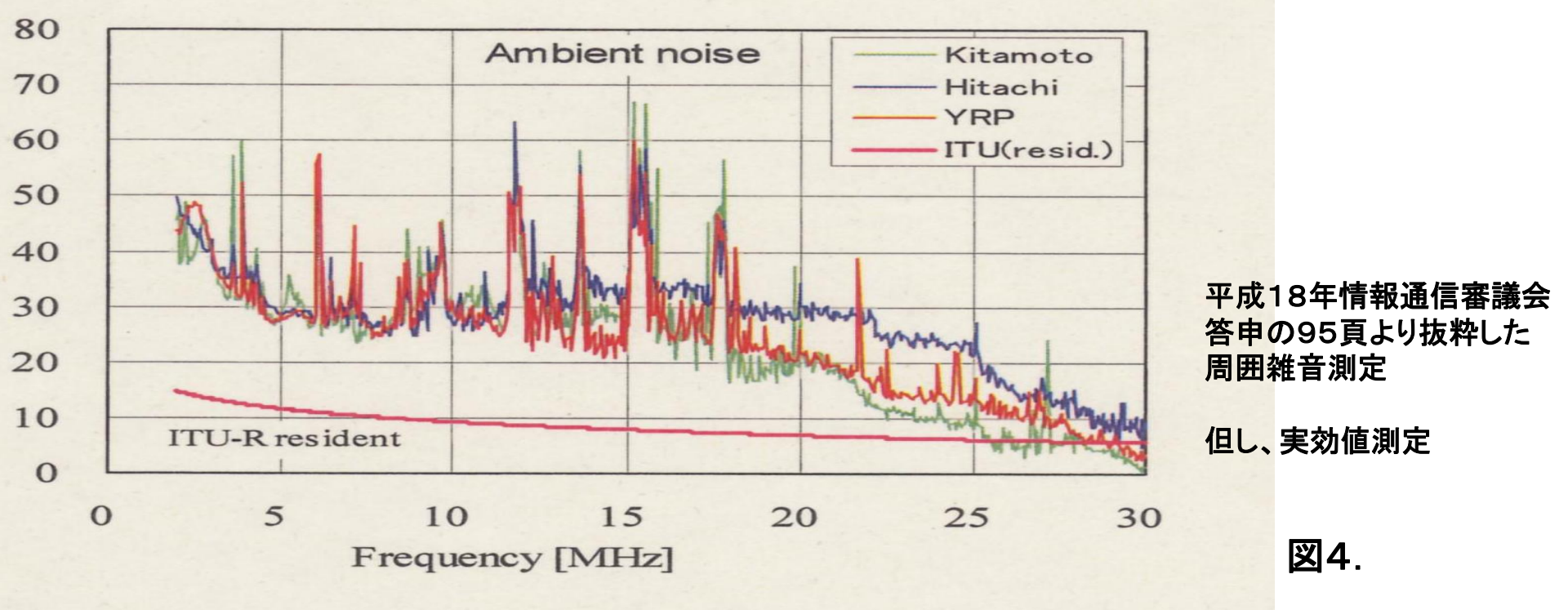
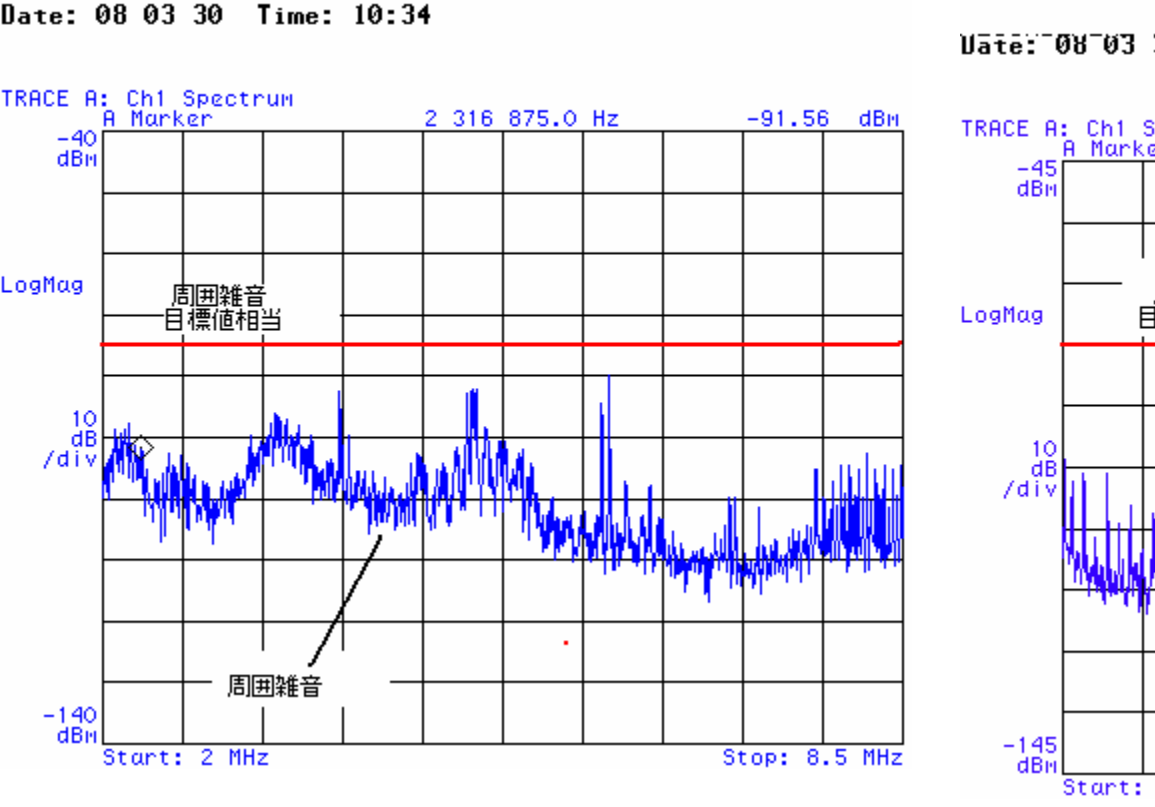


図3. 周囲雑音 横須賀市YRP近隣 駐車場



5-1. 周囲雑音測定(1) 測定波形(2~8. 5MHz)



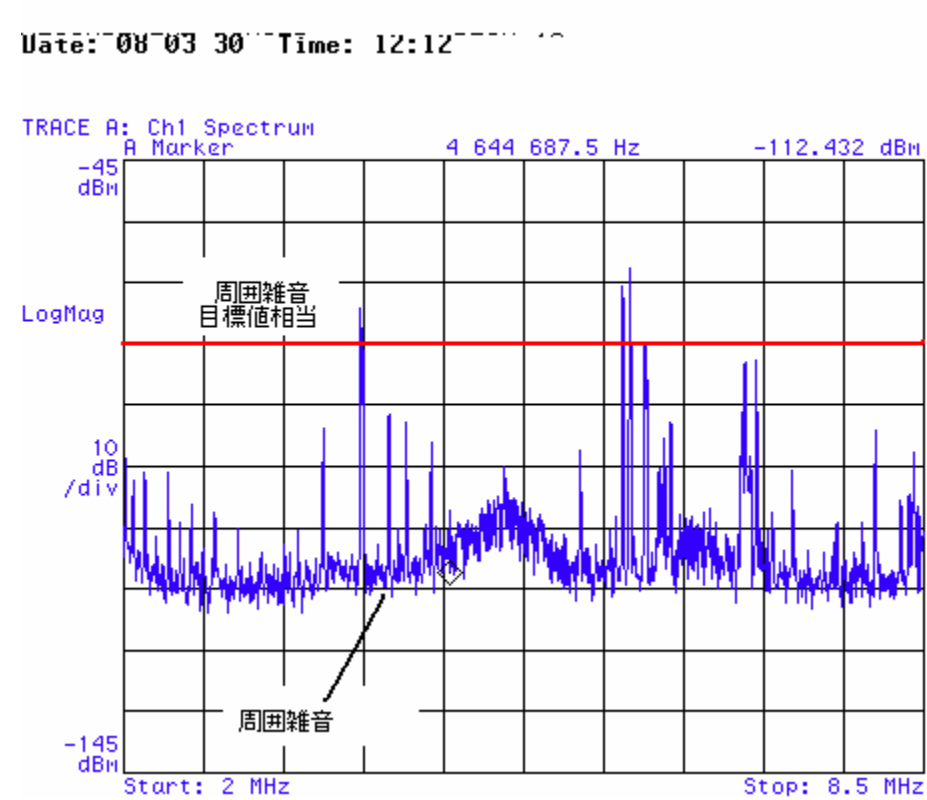


図5. 横須賀市住宅環境1

図6. 横須賀市駐車場1

5-1. 周囲雑音測定(2) 測定波形(21. 5~28MHz)

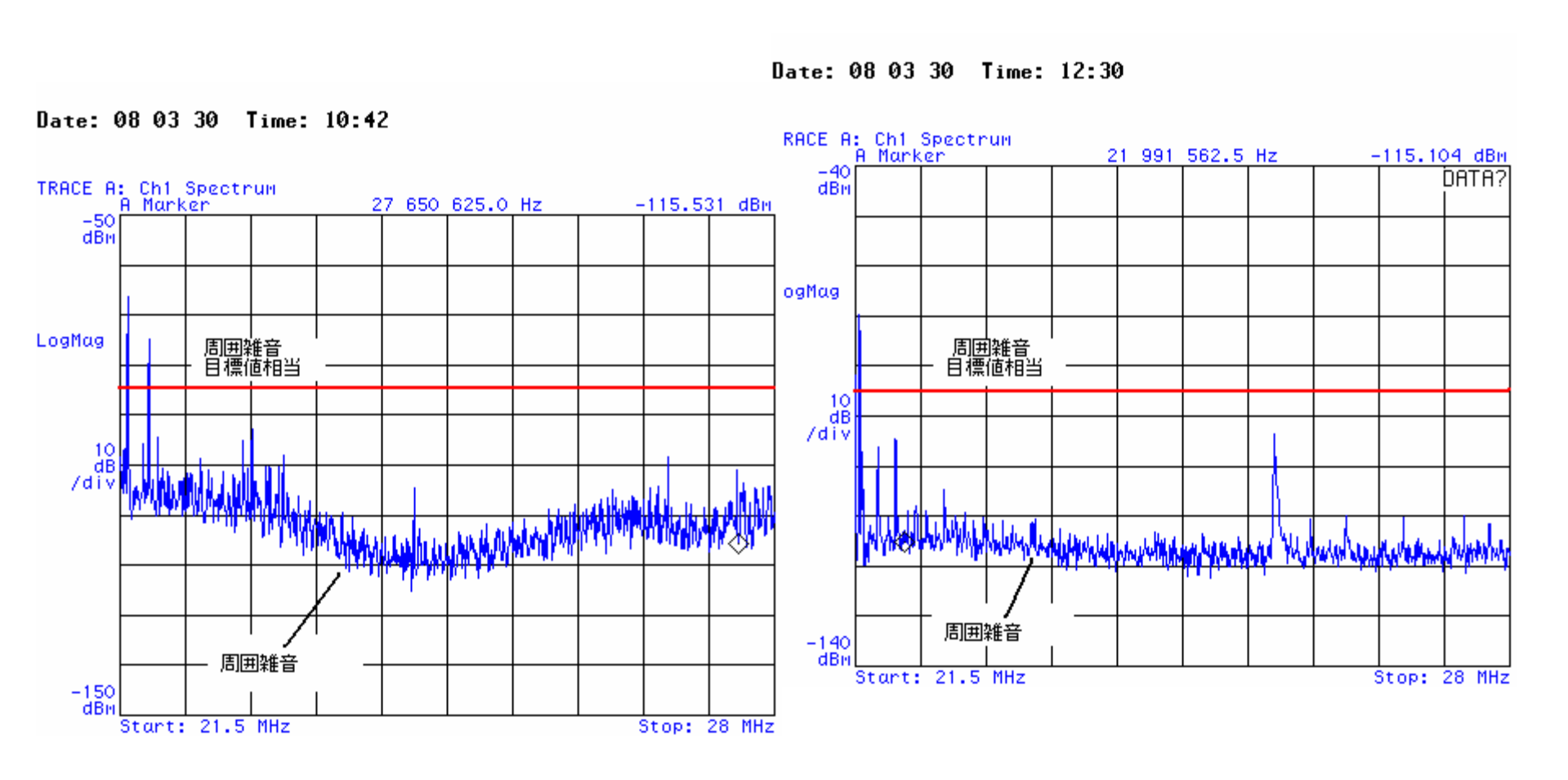


図7. 横須賀市住宅環境2

図8. 横須賀市駐車場2

6. PLC漏洩電界強度測定の実験環境 6-1. 横須賀市内住宅概要及び 横須賀市YRP近隣駐車場概要

6-1. PLC漏洩電界強度測定実験の対象家屋横須賀市内及び 周囲雑音測定したYRP近隣駐車場



図9. 木造二階建



● 機類質YRP近隣 住宅

Par Google

Timage © 2008 Digital Earth Technology

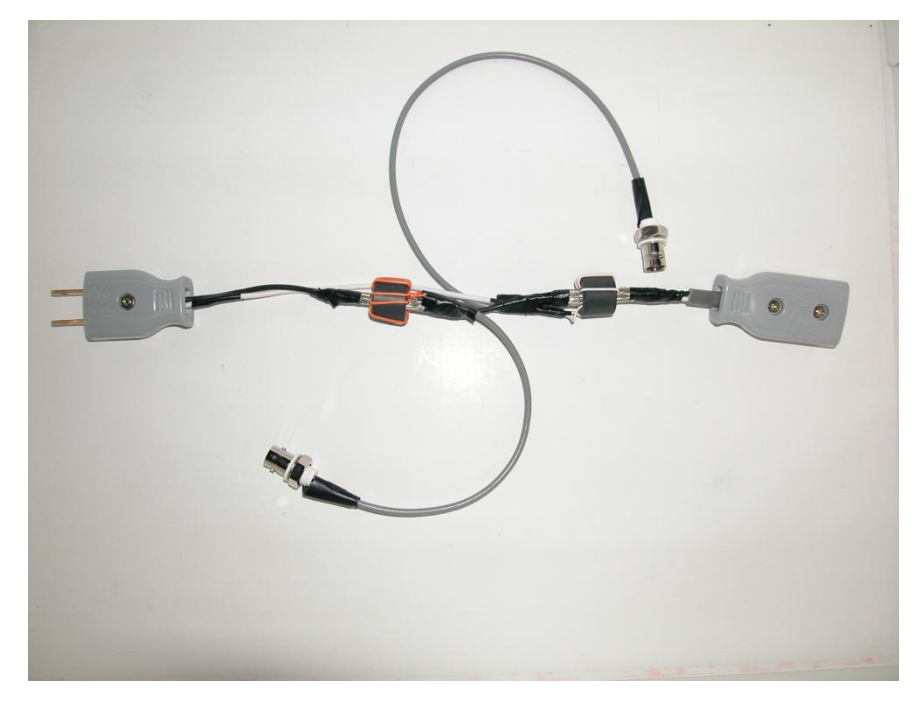
図10. 住宅周辺状況

図11. 横須賀市内 YRP近隣駐車場周辺状況

7. CMI及びDMI測定

- 7-1. CMI/DMI測定用冶具
- 7-2. CMI/DMI進行波·反射波及び 定常電流測定用冶具
- 7-3. CMI/DMI及び漏洩電界測定
- 7ー4. 進行波・反射波及び定常電流測定

7-1. CMI及びDMI測定実験 測定用治具

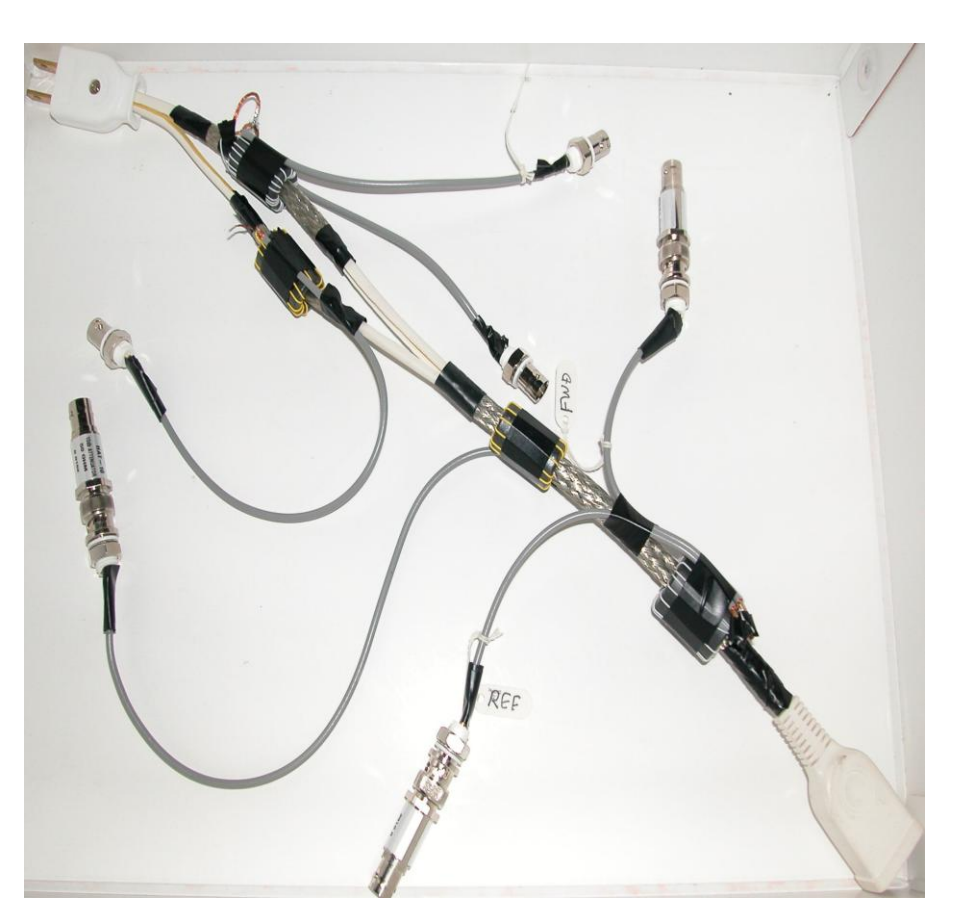


電流測定値は: CMI/DMI(dBµA) =P(dBm)+90

トミタ電機(株)製のフェライトビーズ 6B2-TRB - 22x14x8を使用 し構成して測定

図14. 17dBコンベンショナル・トランス型電流カップラ

7-2. CMI/DMI進行波・反射波及び定常電流測定実験 測定用冶具



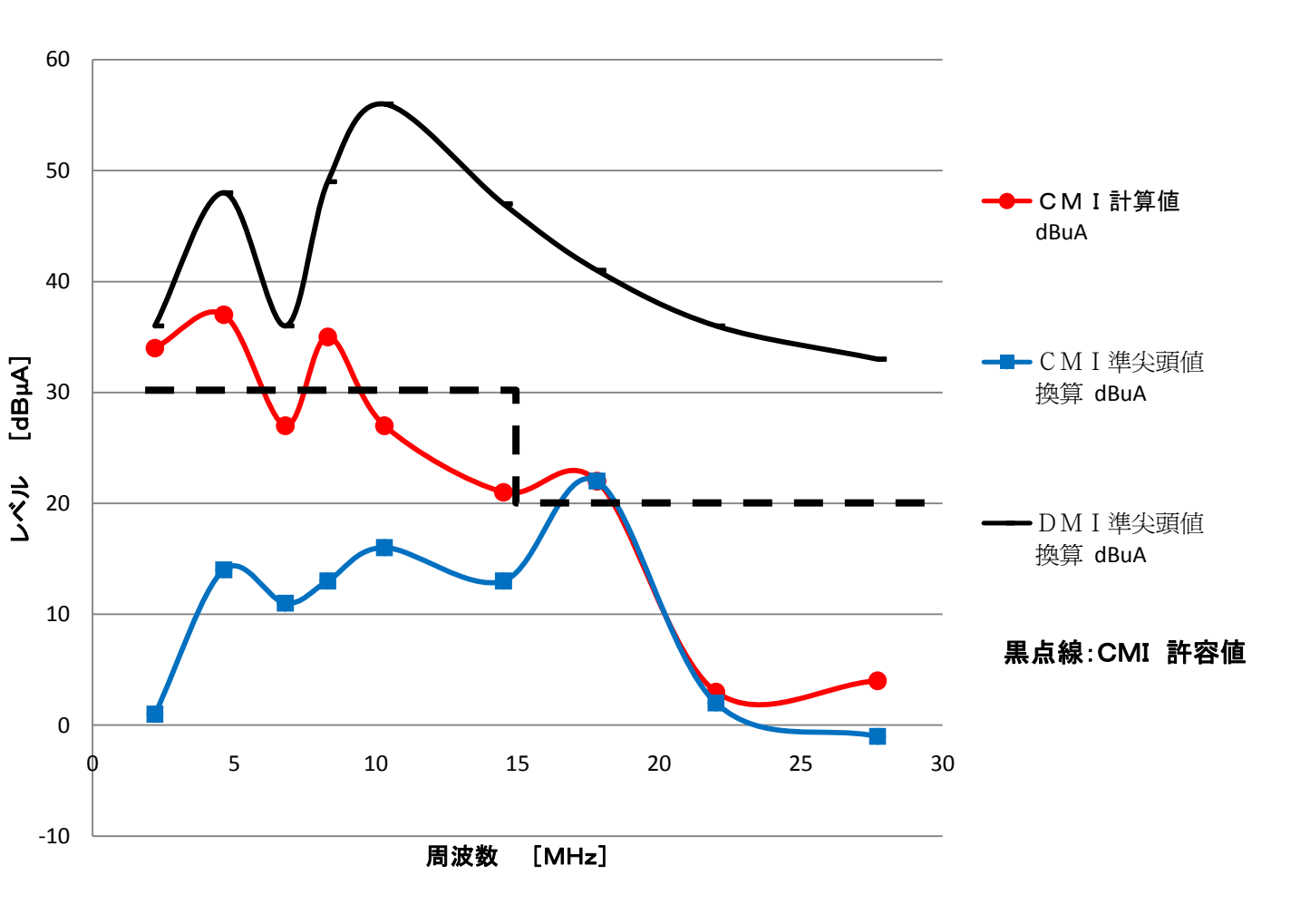
10dBのATT. を併用した 電流測定値は: I(dBµA)=P(dBm)+97

FairーRite社製のフェライトビーズ 264300081 2643102002 を使用し 構成して測定

図15. 20dB伝送線路型方向性結合器及びコンベンショナル・トランス型電流カップラ

- ・測定条件
- ・ 1)LCLプローブを使用し、ISNと同等の設定 LCL=16dB、DMZ=100Ω、CMZ=25Ω
- 2)裾野市木造2階建家屋
- 3)中2階木造住宅(M2Fと呼ぶ)

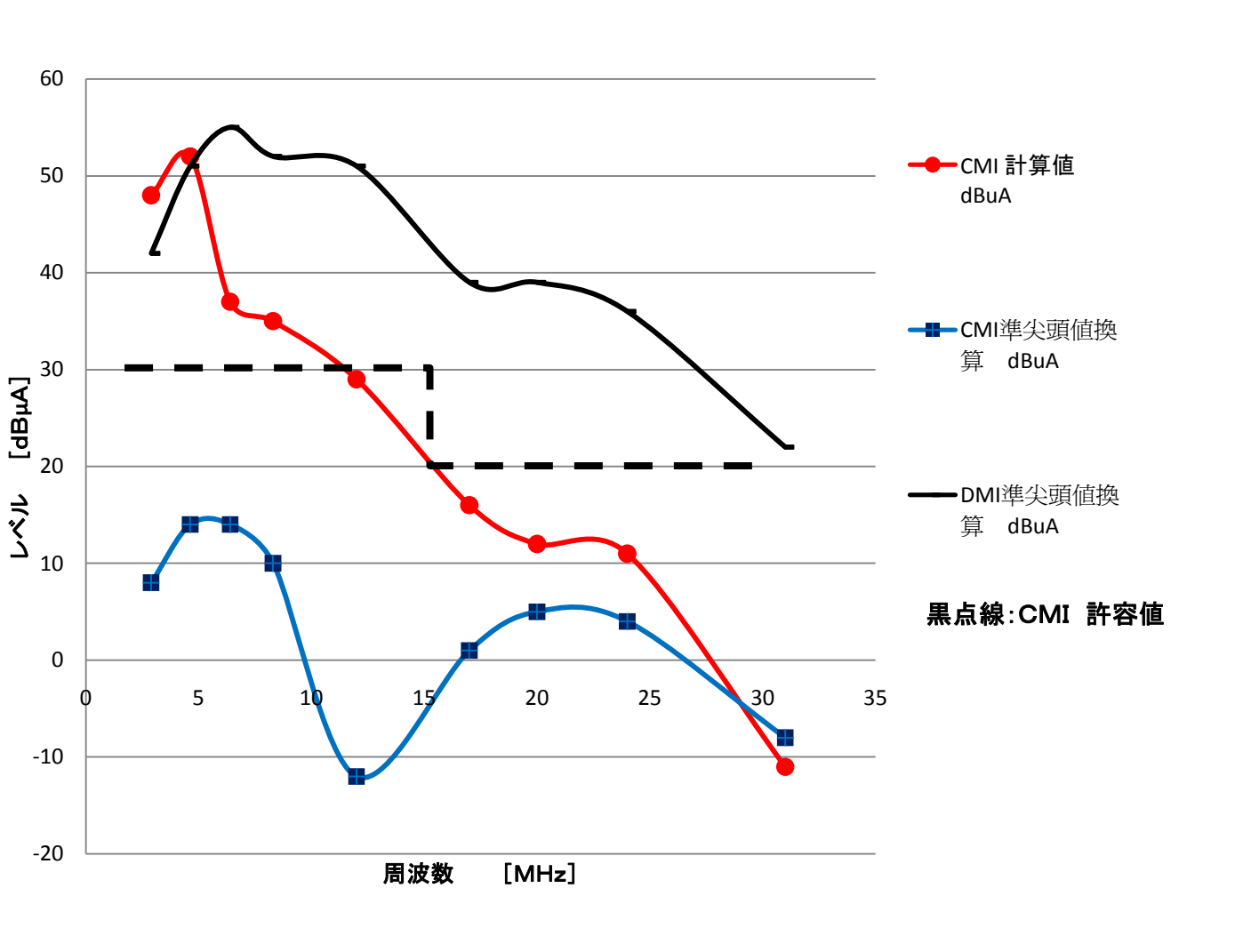
7-3. CMI/DMI測定と漏洩電界測定(1)



- CMI/DMI測定 は、被測定家屋 での実測結果
- CMI計算値は、 技術基準の許容 値の算出式によ る
- CMI計算式に用いた漏洩電界は、被測定家屋での実測結果による

図16. CMI計算値とDMI_CMI比較 PLC__P

7-3. CMI/DMI測定と漏洩電界測定(2)



- ・ CMI/DMI の 測定条件: LCL=16dB CMZ=25Ω
- CMI計算式に用いた漏洩電界は、被測定家屋での実測結果による

 $DMZ = 100\Omega$

図17. CMI計算値とDMI_CMI 比較 PLC_N

7-3. CMI/DMI測定と漏洩電界測定(3)

CMI/DMI 測定 PLC_P

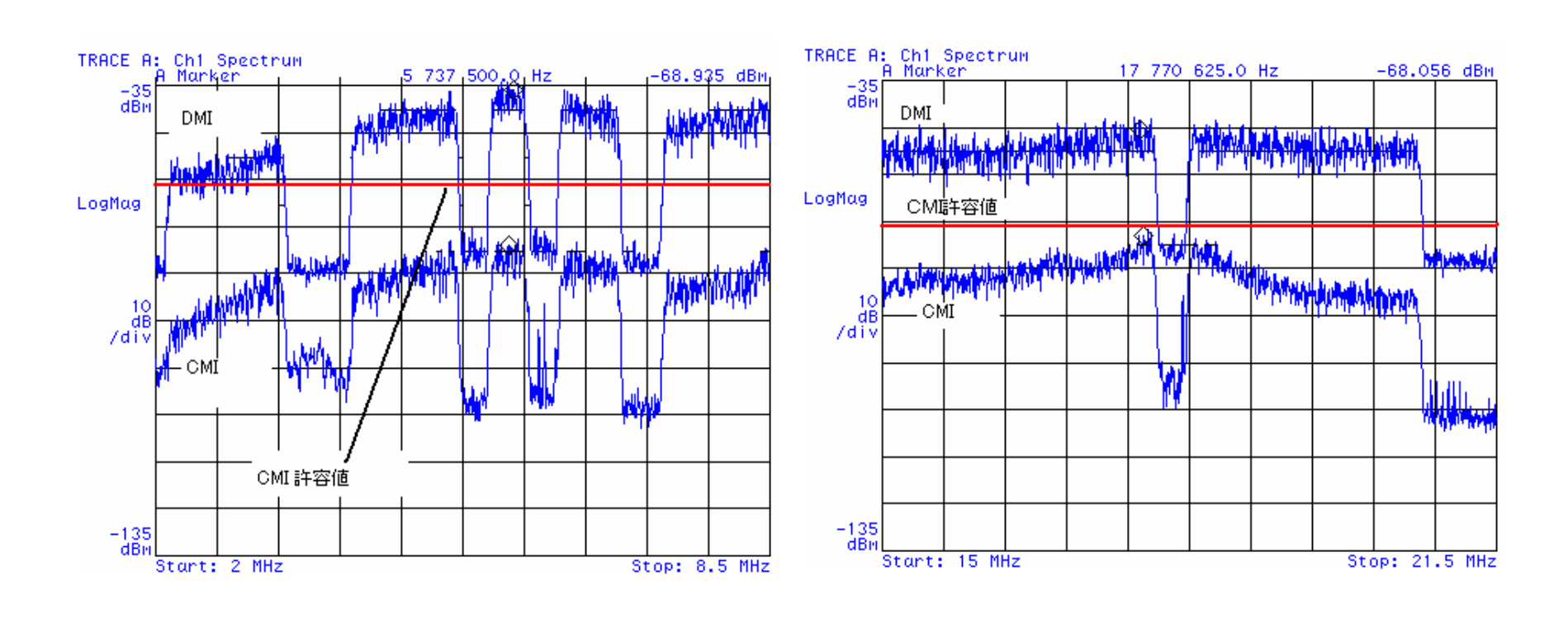


図18. 2~8.5MHz CMI/DMI 測定

図19. 15~21.5MHz CMI/DMI 測定

7-3. CMI/DMI測定と漏洩電界測定(4)

28MHz~34. 5MHz CMI/DMI及び漏洩電界測定 PLC_N

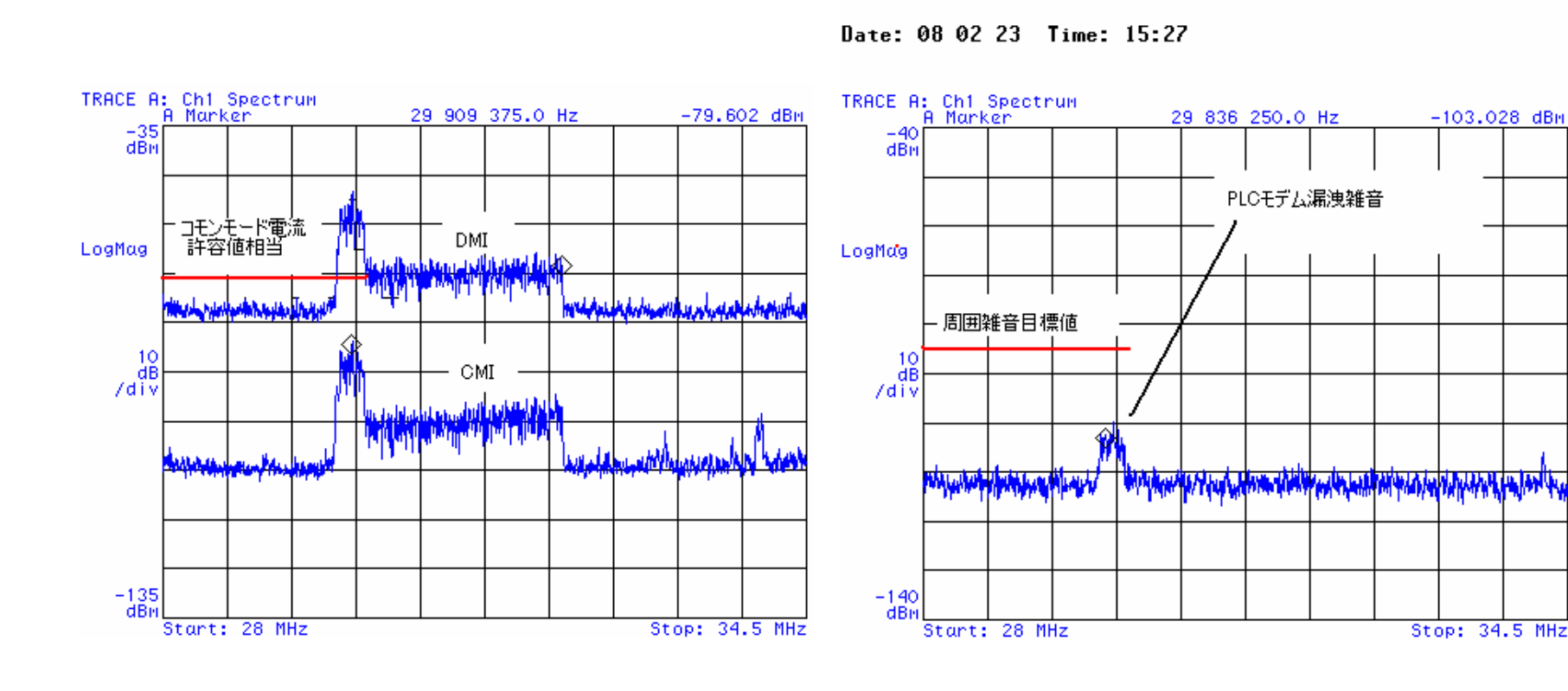


図20. 28~34.5MHz CMI/DMI 測定

図21. 28~34.5MHz 漏洩電界測定 裾野市

7-4. 進行波・反射波及び定常電流測定(1)

2~8. 5MHz CMI定常電流測定比較 PLC_P

* 最大15dB以上の比較差

図中の赤点線は、CMI許容値

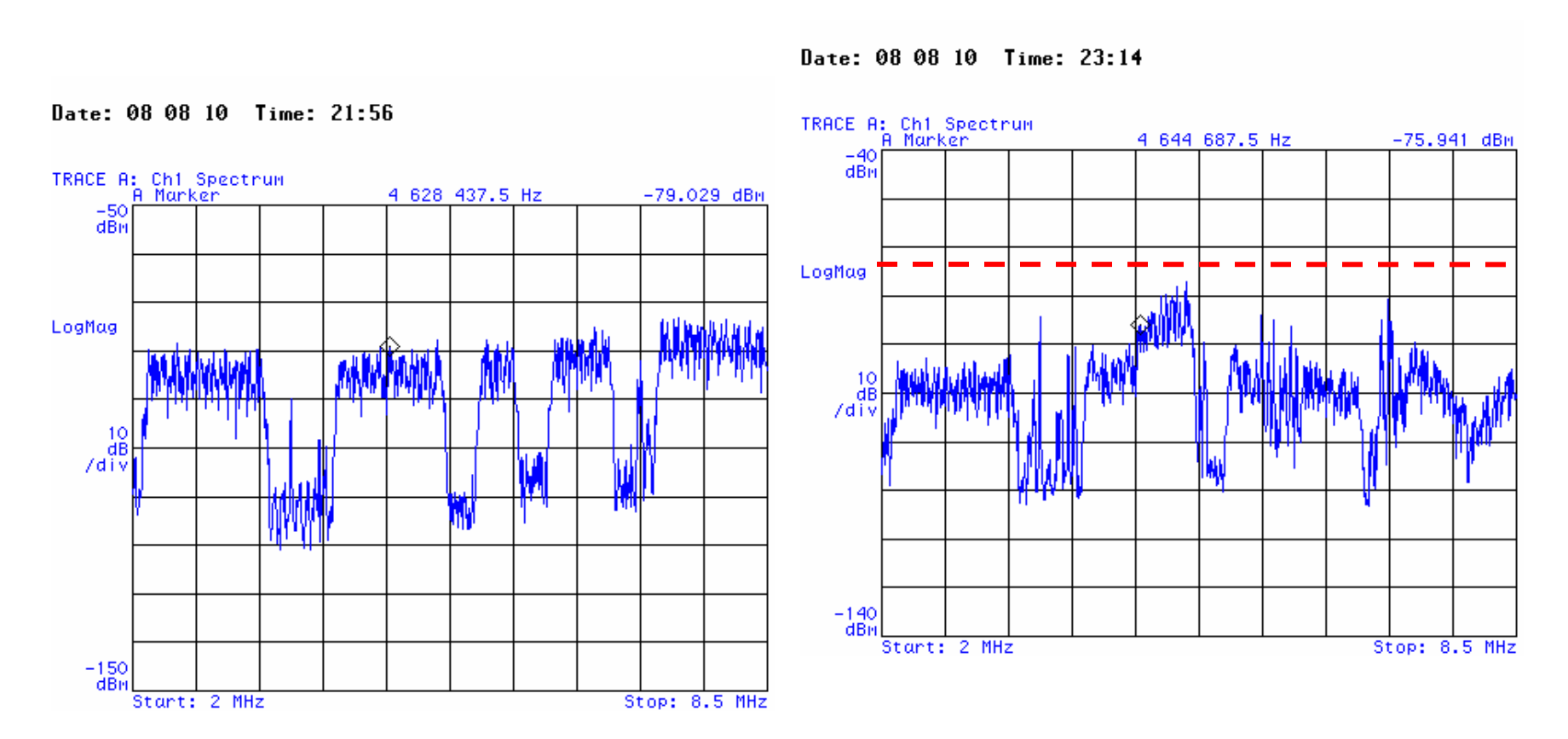


図22. CMI 定常電流測定 ISN同等

図23. CMI 定常電流測定 M2F

7-4. 進行波・反射波及び定常電流測定(2)

15~21. 5MHz CMI 定常電流測定 PLC_P * 最大30dB以上の比較差 図中の赤点線は、CMI許容値

Date: 08 08 11 Time: 16:58 TRACE A: Ch1 Spectrum A Marker -91.168 dBm 16 698 125.0 Hz dBiri LogMag Start: 15 MHz Stop: 21.5 MHz

Date: 08 08 10 Time: 23:11 TRACE A: Ch1 Spectrum A Marker 18 534 375.0 Hz -72.583 dBm LogMag Start: 15 MHz

図24. CMI定常電流測I定 ISN同等

図25. CMI定常電流測定 M2F

7-4. 進行波・反射波及び定常電流測定(3)

21. 5~28MHz CMI 定常電流測定 PLC_P * 最大20dBの比較差 図中の赤点線は、CMI許容値

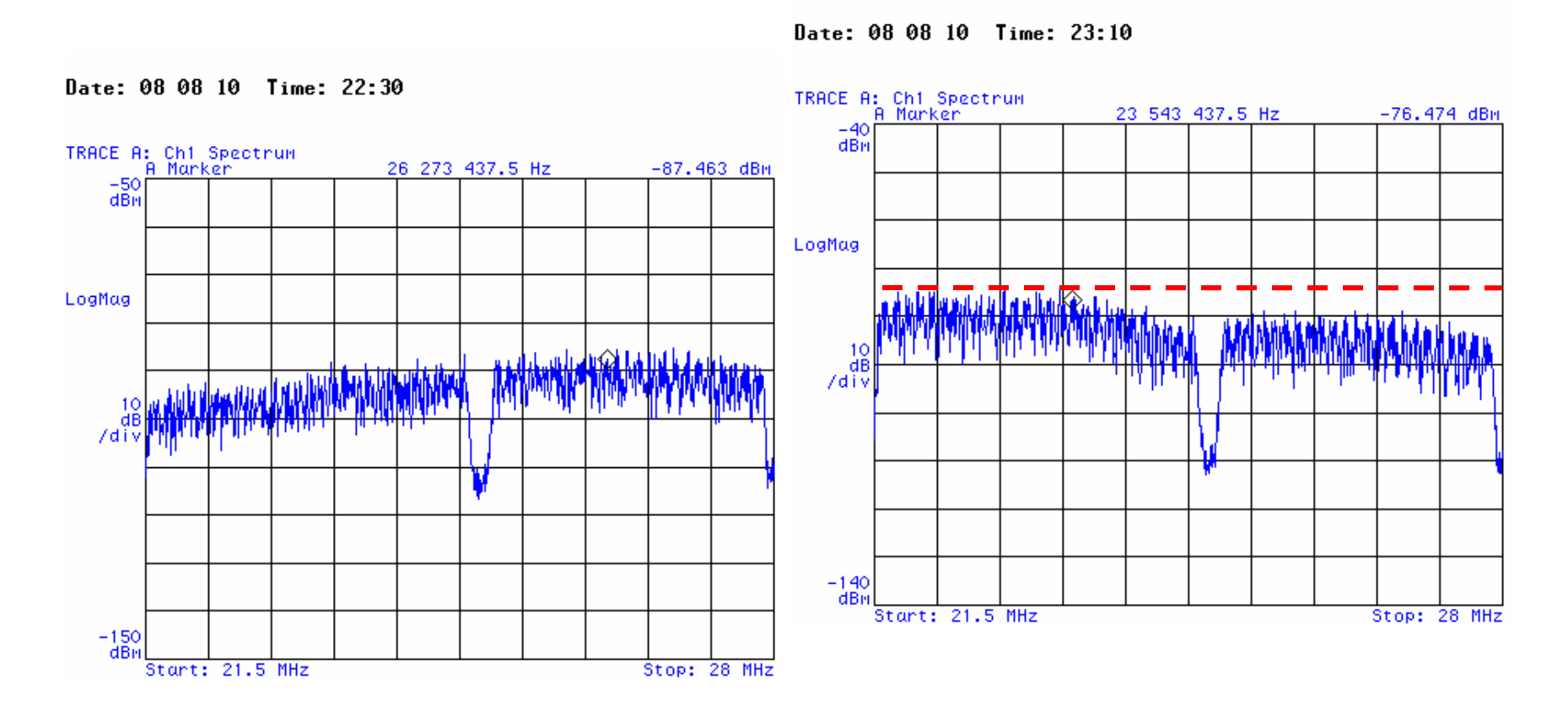


図26. CMI定常電流測定 ISN同等

図27. CMI定常電流測定 M2F



8. PLCモデムからの漏洩電界 測定実験結果の考察

8-1. 周囲雑音測定実験結果の考察

- ●周囲雑音の目標値と実測値の比較
 - ✓ 2~15MHz:目標値(28dBµV/m)より 実測値は最大33dB低い

YRP近隣の駐車場では、最大42dB低い

- ✓15~30MHz:目標値(18dBµV/m)より 実測値は最大37dB低い
- →設定した目標値に問題がある事を 強く示唆

8-2. CMI/DMIと漏洩電界測定結果の 考察

- 技術基準のCMI許容値の算出式: Icom(dBμA)=
 Ep(dBμV/m)+L(dB)+A(dB)-Z(dB(Ω/m))+K(m)
- 図16及び図17より、技術基準に示すCMIと漏洩電界との理論関係式が、実測値に於いては成り立たない。
 DMIと漏洩電界に付いて、理論関係式を立案する事が、
 実測値に於いて困難な事を示唆する。
- 図20及び図21より、この被測定家屋では、 30~32MHzに於ける CMIが-9dBμA、DMIが21dBμAの場合、 離隔距離5mでの漏洩電界は、 図21のDANL=-10dBμV/mになる。

- 周囲雑音レベルをNATOのRTO技術報告による絶対防護要求である漏洩電界基準と同様な -15dBμV/m未満と仮定した場合及び 離隔距離10mに換算した場合、
 - この被測定家屋に於ける CMIは-8dB_µA未満、 DMIは 22dB_µA未満となる。
- 但し、 複数のPLCモデムを使用した場合の累積効果9dBと 日本の一般的な住宅事情より離隔距離5mとすると、 この被測定家屋では、 CMIは-23dBµA未満, DMIは 7dBµA未満となる。
 - ➡漏洩電界の許容値規定の必要性を示唆

8-3. 進行波・反射波及び定常電流 測定結果の考察

- ・図22~図27を考察する事により、オームの法則に基いて判定出来る様に、PLCモデムとISNと同等にした条件とのインピーダンス整合が取れていない事は明らかとなる。即ち、PLCモデムの動作インピーダンスは、ISNと同等にした条件を上回る事になっている。
- 従って、PLCモデムの動作インピーダンスは、 技術基準を前提とした CMZの25Ω又はその値未満、 DMZの100Ω又はその値未満にする必要がある



9. まとめ

- 1)PLCモデムによる漏洩電界の尖頭値は、データ非伝送状態とデータ伝送状態間に有意差が無い。
- ・2)屋内電力線のコンセントのLCL値が、技術基準を前提とした16dBより9B以上平衡度が良い場合(25dB~56dB)であっても、漏洩電界強度は、目標値及び今回測定した周囲雑音を大きく越える。
- ・3)コモンモード電流(CMI)が技術基準を満足しても、漏洩電界は目標値から最大24dB超え、且つ測定した周囲雑音から最大41dB超える。従って、LCL及びCMIと漏洩電界の間には因果関係が認められないと判断出来る。

- 即ち、LCLが16dBより良ければ(平衡度が高ければ)コモンモード電流が小さくなるため漏洩電界が周囲雑音より小さくなる、というPLC技術基準の基本的考え方が成り立たない。
- 4)技術基準が前提とした目標値である周囲雑音は、今回測定した周囲雑音と比較して16dB~42dB過大である。

従って、周囲雑音の測定をし、周囲雑音目標値を下方修正する必要がある。

5)今回測定を実施した家屋において、CMIは-8dBµA未満、DMIが20dBµA未満の条件であれば、離隔距離10mに於いての漏洩電界は、-15dBµV/m未満の周囲雑音レベルになる可能性を示唆する。

従って、複数のPLCの累積効果9dBを考慮し、 且つ日本の住宅事情より離隔距離5mに於いて の漏洩電界は、CMIは-23dBμA未満、DMIが 7dBμA未満の条件であれば、-15dBμV/m未 満の周囲雑音レベルになる可能性を、被測定家 屋に於いて示唆する。

➡漏洩電界の許容値規定の必要性を示唆

・6)進行波電流、反射波電流及び定常電流との比較により、PLCモデムの動作時の内部インピーダンスは、技術基準が前提としたCMZが25Ω又はその値未満、DMZが100Ω又はその値未満である事が必要である。

・日本のPLCが、短波帯に於ける通信・放送と 共存する為には、技術基準を見直し、PLCモ デムからの漏洩電界を真に周囲雑音以下に なる様に修正すべきである事を提案する。



おわり